

스테거 배치 페어자석의 支持系·案内系·非干渉制御의 考察

權丙一·正田英介

(東京大学 工學部)

A Study of Staggered Magnet Pair Decoupling Control for a Levitation System

B. I. Kwan · E. Masada

Dep. of Electrical Engineering the Univ. of Tokyo 3-1 Iliongo 7,

Bunkyo-Ku, Tokyo, 113 Japan

To obtain both lift and guidance forces, either separate vertical and horizontal reaction rails with associated magnets may be used, or a pair of magnets, each laterally staggered relative to the rail center-line may be employed. This paper deals with the latter design, and shows that the heave and sway motions are decoupled by linearization for small heave and sway displacement and for large sway displacement. However, there are some coupling factors because of parameter variation, nonlinear effects, which are compensated.

1. 序説^{[1]~[4]}

磁気浮上鐵道는, 高速性, 快適性 等을追求하는 새로운 交通시스템으로서 開発 및 實用化가 進行되고 있다.

磁氣浮上鐵道의 浮上方式으로서는, 超電導線 이용한 誘導反駛方式과 常電導吸引浮上方式이 있으며, 常電導吸引浮上方式에는 支持·案内獨立方式과 支持·案内兼用方式이 있다.

支持·案内兼用方式은, 支持·案内獨立方式과 비교해서 重量과 消費電力의 面에서 有利한 것으로 알려져^[3], 영국의 비밍엄(Birmingham) 시스템 및 日本의 HSST 시스템에 採用되고 있다.

HSST 시스템은, 支持·案内兼用方式인 스테거 배치 페어자석(staggered Magnet Pair, 以下 스테거자석이라고 함) 2個와, 推進力を 發生하는 片側式線形誘導電動機를 一體化한 '磁氣車輪'構造이다.

本論文에서는, 우선 線形形式手法에 의해, 支持系와 案内系의 微少變位의 경우에 대해서, 支持系와 案内系의 運動方程式과 電氣回路式이 支持系·案内系로 非干渉될 수 있음을 나타낸다.

그리고 支持系一定의 條件下에서 各磁石의 電流制御利得을 適當히 決定하므로서, 橫空隙長의 큰 變位까지 運動方程式이 非干渉됨을 보이고, 이 경우에는 電氣回路式이 非干渉化되지 않으므로 發生하는 支持系와 案内系의 干渉 및 兩磁石의 電氣的 性能의 不一致에 의한 干渉을 案内外亂力에 의한 ステップ応答으로 구한다. 또한 干渉의 大きさ으로, パラメ터의 變動에 대한 로버스트성을 갖는 补償을 하므로서 干渉現象을 減少시킬 수 있음을 보인다.

2. 스테거자석의 支持系·案内系의 非干渉化

支持·案内兼用方式의 스테거자석은 構造의으로는 案内系와 支持系가 区分되어 있지 않지만, 制御에 있어서는 支持系와 案内系로 分離하는 것이 바람직하다.

本章에서는 支持系·案内系의 非干渉化 및 干渉의 原因에 대해 설명하고 干渉의 減少를 위한 补償을 한다.

(1) 浮上, 橫空隙長 微少變位에 대한 非干渉化^[1]

스테거자석의 各磁石는, 그림 1에 나타내듯이, 軌道中心에 대해서 左右方向으로 스테거量 y_s 만큼 뒤워 하도록 배치되어 있다.

스테거磁石의 1個의 U形磁石의 案内力, 支持力은 式 (1), (2)로 계산되어지며, 인덕턴스는 式(3)의 近似式을 使用하기로 한다^[2]. 磁石

의 電氣回路式은 式(4)이다.

$$F_s = \frac{\mu_0 I_m n^2}{2\pi z_e} \tan^{-1} \frac{y_e}{z_e} \quad (1)$$

$$F_a = \frac{\mu_0 I_m w n^2}{4z_e^2} \left(1 + \frac{2z_e}{\pi w} - \frac{2y_e}{\pi w} \tan^{-1} \frac{y_e}{z_e} \right) \quad (2)$$

$$L = L_s + L_a \frac{1}{\sqrt{y_e^2 + z_e^2}} \quad (3)$$

$$e = R_i + \frac{dL}{dt} \quad (4)$$

단, L_s 는 누설 인덕턴스, $L_a = \mu_0 w n^2 / 2$ 이다.

磁石 1에 대해서, 평행점(y_e, z_e, L) 근방에서, 式(1)~(4)을 1次近似해 線形化하면 다음 式이 얻어진다.(磁石 1에 대한 變化分은 添字 1, 絶對值은 a 로 나타낸다)

$$F_{s1} = F_s + \beta_1 (1 - r_s z_1 + \xi_s y_1) = F_{s1} + F_{d1} \quad (5)$$

$$F_{a1} = F_a + \beta_1 (1 - r_s z_1 + \xi_s y_1) = F_{a1} + F_{d1} \quad (6)$$

$$L_s = L_s - \delta_s z_1 - \delta_s y_1 = L_s + L_{d1} \quad (7)$$

$$e_s = R_i + R_{i1} + L_{d1} - i_s (\delta_s z_1 + \delta_s y_1) = e_{s1} + e_{d1} \quad (8)$$

단, e_s 는 스테거자석의 負擔하는 質量을 M 이라 하면, $Mg/2 = F_a$ 로부터 구해진다.

(文字의 内容은 參考文獻[4]를 參考하기 바람).

磁石 2에 대해서, 평행점($-y_e, z_e, a$) 근방에서, 式(1)~(4)을 1次近似해, 線形化하므로 다음 式을 얻는다.(磁石 2에 대한 變化分은 添字 2, 絶對值은 a 로 나타낸다)

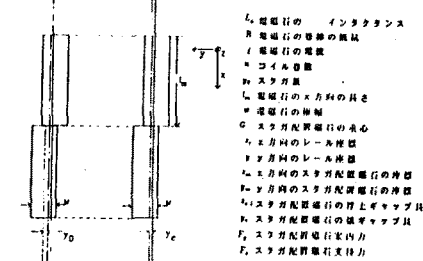
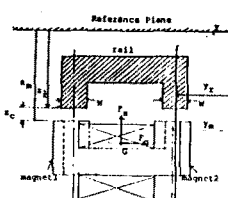


그림 1. 스테거배치 페어 자석

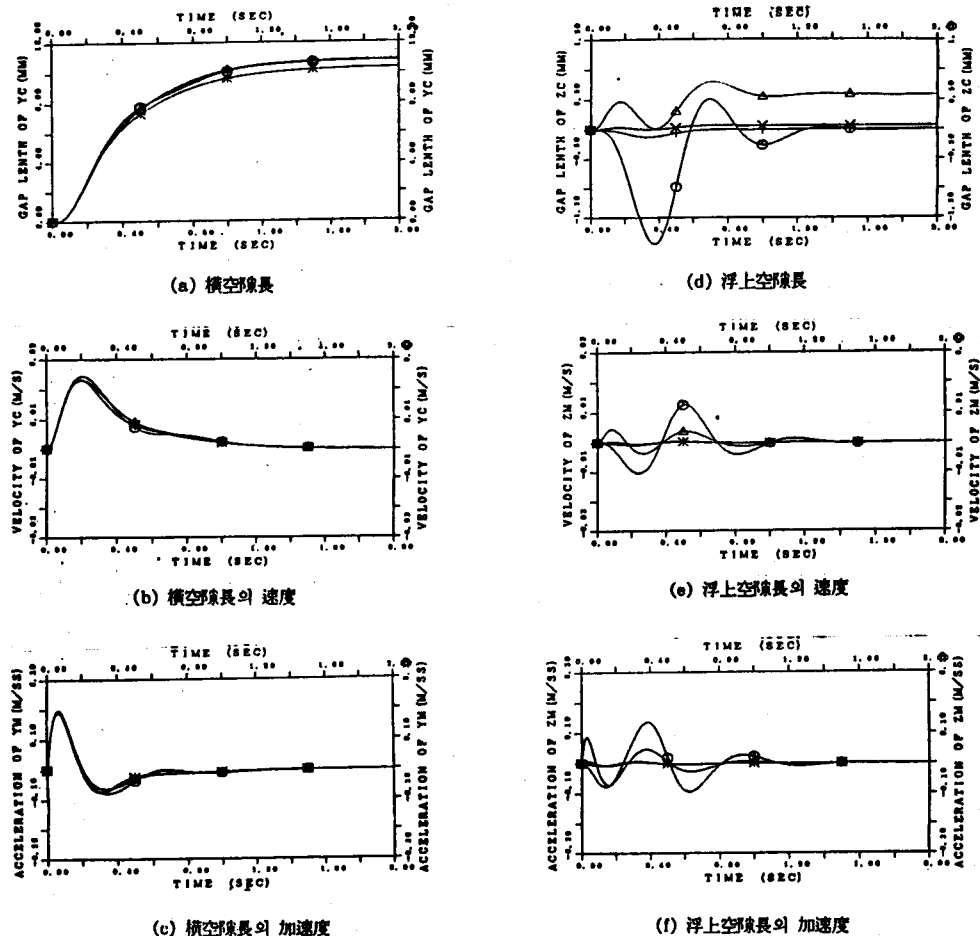


그림 3. 室内外電内(0.3Mg)에 의한 스텝응답

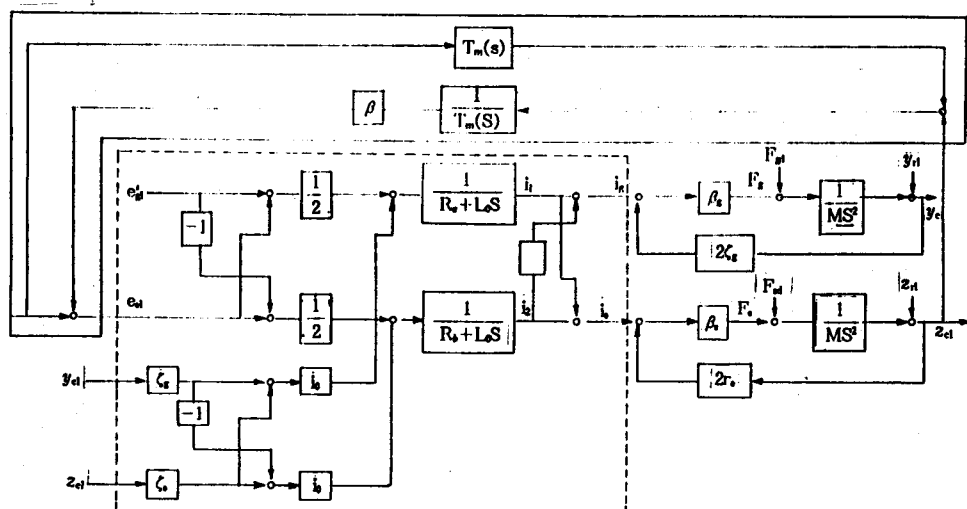


그림 4. 补償系를 넣은 스테거 자석의 block diagram

字 2로, 絶對值는 b 로 나타낸다.)

$$F_{\phi} = F_{\phi} + \beta_1(i_1 - r_1 z_1 + \epsilon_1 y_1) = F_{\phi} + F_{\phi} \quad (9)$$

$$F_{\phi} = F_{\phi} + \beta_1(i_1 - r_1 z_1 + \epsilon_1 y_1) = F_{\phi} + F_{\phi} \quad (10)$$

$$L_0 = L_0 - \delta_1 z_1 - \delta_1 y_1 = L_0 + L_0 \quad (11)$$

$$e_0 = R_{\phi} + R_{\phi} + L_0 - i_1(\delta_1 z_1 + \delta_1 y_1) = e_0 + e_0 \quad (12)$$

스테거자석은 레일에 대해서 평행한 것으로 가정하면 $z_1 = z_2 = z_a$, $y_1 = y_2 = y_a$ 이며, $e_1 + e_2 = e_a$, $i_1 + i_2 = i_a$ 를 支持分, $e_1 - e_2 = e_{\phi}$, $i_1 - i_2 = i_{\phi}$ 을 案内分이라 하면, 式(5)~(12)에 의해 스테거 자석의 運動方程式 및 電氣回路式은 다음과 같이 支持系로 非干渉화되어 진다.

$$\text{案内系 } M\ddot{y}_a = -\beta_1(i_a + 2\delta_1 z_a) + F_{\phi} \quad (13)$$

$$e_{\phi} = R_{\phi} + L_0 - 2\delta_1 \dot{y}_a$$

$$\text{支持系 } M\ddot{z}_a = -\beta_1(i_a - 2r_1 z_a) + F_{\phi} \quad (14)$$

$$e_{\phi} = R_{\phi} + L_0 - 2\delta_1 \dot{z}_a$$

(2) 長横空隙長變位에 대한 非干渉化

前節에서는 微少變位에 대한 非干渉化를 求했다.

하지만, 式(1)로 부터 알 수 있듯이, 案내力은 電流 및 橫空隙長의 합수이므로 y_a 를 볼수록 큰 案내力이 얻어짐을 알 수 있다. 그래서 본節에서는 浮上空隙長一定, 長横空隙長變位에 대해서도 運動方程式은 支持系로 非干渉化될 수 있음을 보인다.

長横空隙長變位에 대해서도 支持系를 非干渉化 하기 위해서는, 支持力, 支持分電流, 浮上空隙長을 一定으로 하고, 橫空隙長에 대해서 각磁石의 電流을 次式과 같이 制御하기로 하자.

$$i_1 = b_1 + i_1 = b_1 + k_g y_a \quad (16)$$

$$i_2 = b_2 + i_2 = b_2 + k_g y_a$$

支持系에 非干渉하는 最大非干渉 橫空隙長($=y_a^*$)은, $b_1=0$ 時의 橫空隙長이므로 非干渉制御得 k_g^* 는 次式의 관계이다.

$$y_a^* = b_1/k_g \quad (17)$$

最大非干渉橫空隙長은, 橫空隙長 y_a^* 에서, 磁石 2의 電流가 0, 磁石 1의 電流 $i_1=2i_0$ 時, 磁石 1가 全質量을 負擔하는 條件으로 부터 구해 진다.

上の 條件을 數式化하면 次式으로 나타내어진다.

$$2\left(1 + \frac{2z_e}{\pi w} - \frac{2(y_0 + y_a^*)}{\pi w} \tan^{-1} \frac{y_0 + y_a^*}{z_e}\right) = \left(1 + \frac{2z_e}{\pi w} - \frac{2y_0}{\pi w} \tan^{-1} \frac{y_0}{z_e}\right) \quad (18)$$

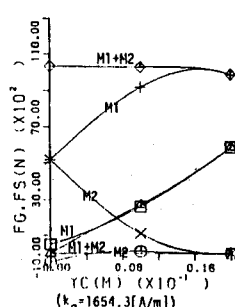
式(17), (18)로 부터 最大非干渉橫空隙長, 非干渉制御得이 求하여 진다.

表 1의 HSST-03의 電磁石을 모델로 이들 値를 求하면, 非干渉最大橫空隙長 y_a^* 은 0.0186[m], 非干渉制御得 k_g^* 는 1654.3[A/m]이다.

表 1. HSST-03의 자석의 性能

電磁石의 極中 (W)	0.025[m]
定常浮上空隙長 (z_a)	0.011[m]
스테거量 (y_0)	0.005[m]
定常電流 (i_0)	30.8 [A]
巻線抵抗 (R)	0.54 [Ω]
巻線인덕턴스 (L)	0.234[H]

그림 2 非干渉電流 制御得 $kg = 1654.3[A/m]$ 에 의한, 橫空隙長變位에 대한 力特性



이 制御得을 移用해서, 橫空隙長變位에 대해, 各磁石의 電流를 制御할 경우의 스테거자석의 力特性을 그림 2에 나타낸다.

그림 2로 부터 알 수 있듯이, 橫空隙長變位에 대해 電流制御得 kg 로 制御하면, 橫空隙長이 増加함에 따라 案내力은 기의 線形적으로 增加하며 支持力은 기의 一定이여서 非干渉되어 있음을 알 수 있다.

以上에서 電流制御로서의 非干渉制御得 kg 를 求하였으나, 實제로는 電壓制御를 하게 되므로 式(13)의 制御電壓으로 나타내면은 다음과 式으로 표현된다.

$$e_{\phi} = 2kgRy_a + (2Lkg - 2i_0\delta_1)y_a \quad (19)$$

電壓制御에 있어서 長横空隙長制御를 支持系에 非干渉으로 하기 위해서는 橫空隙長利得 k_v , 速度利得 k_a 가 決定되어야 하므로, 加速度利得(k_w)을 適當히 決定하므로서 乘車感을 調整하게 된다.

(3) 非干渉制御에 있어서의 干涉 및 干涉의 補償

微少變位에 대한 非干渉化에 있어서는, 運動方程式 뿐만 아니라 電氣回路式도 非干渉化 되었지만, 長横空隙長變位에 대한 非干渉化에 있어서는 運動方程式이 非干渉화됨을 나타내었으나 電氣回路式은 非干渉화되지 않는다. 또한, 式 (8), (12)로 부터 알 수 있듯이, 各磁石의 電氣的 特性(R, L)의 不一致는 微少變位에 대해서도 電氣回路式이 非干渉화 되지 않는 원인이 된다.

本節에서는 長横空隙長制御에 있어서, 電氣回路式의 非線形性에 의한 干涉과 兩磁石의 電氣的 特性的 不一致에 의한 干涉을 檢討하며, 干涉에 대한 補償을 하기로 한다.

干涉 및 그에 대한 補償을 檢討하기 위해서, 案内外亂力 0.3Mg에 대한 スペ應答을 求하기로 하며, 支持系와 案内系의 制御利得을 式(13), (14)으로부터 구하여 表 2에 나타낸다.

前節에서, 長横空隙長에 대해서, 運動方程式은 支持系, 案内系가 非干渉이며 그 力特性은 기의 線形의이므로, スペ応答을 구하는 대 있어서 運動方程式은 線形方程式을 使用하기로 한다.

電氣回路式으로서는, 式(3), (4)를 使用하므로서, 電氣回路式의 非線形性에 의한 干涉성을 檢討하기로 한다.

電氣回路式의 非線形性을 고려한 スペ応答을 求하여서 그림 3中에 ① 표시로 나타내었다.

電氣回路式의 非線形性에 의해, 支持系의 過度特性에는 干涉이 일어나지만, 定常特性에는 干涉이 없음을 알 수 있다. 0.3Mg의 案内外亂力에 대한 定常橫空隙長은 約 10.2[mm]이다.

兩磁石의 地抗의 不一致(磁石 1의 地抗 $R_d=1.1R$, 磁石 2의 地抗 $R_d=0.9R$) 및 電氣回路式의 非線形性을 고려한 スペ応答을 求하여 그림 3中에 △표시로 나타내었다.

表 2 制御定數

支持系	案内系
空隙長 $k_{1g} = 5951.59$	$k_{1g} = 1786.65 [V/m]$
空隙長의 速度 $k_{2g} = 1225.1$	$k_{2g} = 586.33 [V/m/s]$
空隙長의 加速度 $k_{3g} = 34.8$	$k_{3g} = 140.0 [V/m/s^2]$

支持系의 過度特性 및 定常特性에 干涉이 일어나며, 浮上空隙長의 約 0.6[mm] 增加한다. 定常橫空隙長은 約 10.8[mm]이다.

以上과 같은, 電氣回路式의 非線形性 및 電氣的 特性的 不一致에 의한, 案内外亂力에 의한 支持系에의 干涉을 除去하기 위하여, 그림 4와 같은 補償制御系를 침부하기로 한다. 그림 4에 있어서 點線部分은 스테거자석의 電氣回路로서, 實제로는 非線形式으로 나타내어 지지만, 說明을 위하여 線形式으로 나타내었으며, 兩磁石의 地抗의 不一致에 의한 干涉을 보여주고 있다. 直線部分은 補償制御系로, $Tm(S)$ 는 式(13)에 있어서 浮上空隙長/支持分電壓(z_a/e_{ϕ})의 傳達關數이다. 단, 位置制御를 위한 feed back은 나타내지 않았다.

以上과 같은 補償을 하였을 경우의, 電氣回路의 非線形性만을 고려한 スペ応答을 그림 3中에 + 표시로, 電氣回路의 非線形性 및 兩磁石의 地抗의 不一致를 고려한 スペ応答을 그림 3中에 × 표시로 나타내었다. 단 β 는 10으로 계산하였다.

補償에 의해 案内系의 特性은 기의 變化가 없으나 支持系에 대한 干涉은 기의 除去되었음을 알 수 있다.

3. 結 論

支持·案内兼用方式인 스테거자석에 대한 非干渉制御를 고찰하였다.

支持系와 案内系의 非干渉化를 提示하였으며, 電氣回路式의 非線形性 및 兩 磁石의 電氣의 特性的 不一致에 의한 干渉을 案内外亂力에 의한 스템용답으로 求하였으며, 干渉에 대한 補償으로 干渉을 減少시켰다.

4. 參考文獻

- [1] 正田英介, 横丙一, “磁氣浮上鐵道의 現象과 展望,” 電氣學會誌, Vol. 37, No. 4, pp. 58~70, 1988
- [2] 横丙一, 正田英介, 他, “磁氣車輪의 橫方向運動特性,” 제10차 国내외 한국과학기술자종합학술대회 논문집 경보산업분과, pp. 8~12, 1987
- [3] Limbert, et. al, “Controlled Dynamic Characteristic of Ferromagnetic Vehicle Suspension ~,” Journal of Dynamic System, Measurement, and Control, Sept, vol. 101, pp. 217~222, 1979
- [4] 横丙一, 正田英介, “스테거배치 페어자석에 의한 磁氣車輪의 左右協調制御,” 電氣學會リニスドラくフ研究會 LD-88-7, pp. 1~8, 1988 (日本)
- [5] 藤崎敬介, “電磁吸引制御式 磁氣浮上車輛의 走行特性의 研究” 東京大學學位論文, 1985
- [6] K. Famaki, et. al, “Microprocessor-Based Robust Control of a DC Servo Motor,” IEEE Control System Magazine, pp. 30~36, October 1986